

京都大學防災研究所 正員 今 本 博 健
京都大學 大學院 學生員 ○ 野 富 健

本報告は、既報¹⁾に引き続き、2次元開水路流れにおける乱れ速度の時空間構造について、フィルター手法を応用した相関解析により若干の考察をするとともに、ホットフィルム流速計を用いた多点同時乱れ計測により時空間構造を記述するいくつかの特性量について実験的検討を行なおうとするものである。

1. 時空間相關特性量 流れ方向に x だけ離れた 2 点における T という特定周期成分の乱れ速度に関する時空間相關係数 $R_{T(x)}$ は、 x を一定として、 x に応じて定まるある遅れ時間（最適遅れ時間） T_x において最大値を示し、 C が T_x より離れるにしたがって周期 T の規則的変化を示しつつ減衰する特性を有している。 $t = T_x$ における時空間相關係数すなわち最適相關係数 $R_T(t) = R_T(x; T_x)$ はスペクトル解析における coherence の平方根すなわち coherency に相当し、最適遅れ時間 T_x は位相差に相当するものと考えられる。一方、 $x=0$ における時空間相關係数すなわち自己相關係数 $R_T(0) = R_T(0; t)$ もまた、 $R_T(x; t)$ と同様、 t の増加に伴なって周期 T の規則的変化を示しつつ減衰する特性を有しているため、 $R_T(x; t)$ の減衰特性と $R_T(t)$ のそれとの間に相似性を仮定すると、 $R_T(x; t)$ は近似的に次のように表わされる²⁾。
$$R_T(x; t) = R_T(x) R_T(t - T_x) \quad \dots \dots \quad (1)$$

$$R_T(x; \tau) = R_T(x) R_T(\tau - \tau_x) \quad \dots \dots \quad (1)$$

一方、 $R_T(t)$ および $R_T(z)$ は、図-1に示された $R_T(\omega; T)$ の計測例よりも知れるように、それぞれ次の複数形によって近似される。すなわち、 $R_T(t) = \exp\left(-\frac{|t|}{T_a}\right) \cos 2\pi \frac{t}{T}$ ……(2), $R_T(z) = \exp\left(-\frac{|z|}{L_a}\right)$ ……(3)

$$R_T(\tau) = \exp\left(-\frac{|\tau|}{T_0}\right) \cos 2\pi \frac{\tau}{T} \quad \dots (2), \quad R_T(x) = \exp\left(-\frac{|x|}{x_0}\right) \quad \dots \quad (3)$$

ここに、 T_α は $R_\alpha(t)$ の減衰特性を示すものであって、減衰時間あるいは持続時間といわれる。また、 L_α は $R_\alpha(x)$ に関する積分スケールであって、平均速度が乱れ速度に比べ十分大きい場合、Lagrange的平均スケールに一致する。

流れに垂直な方向の時空間相關係数についても、以上と同様にして、その特性はそれぞれの最適相關係数に関する積分スケールおよび最適遅れ時間によって記述される。ただし、相關特性量の物理的意義は流れ方向に関するものと流れに垂直な方向に関するものとは異なり、前者が平均流に伴なう移流特性を示すのにに対し、後者における積分スケールは乱れの空間的広がりを、また最適遅れ時間は乱れの空間的ひずみの度合いを示す特性量である。

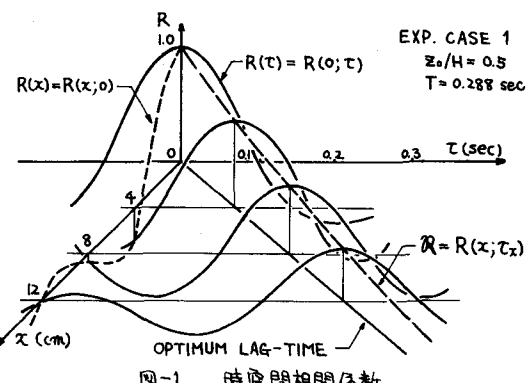
2. 実験的検討 以上に示された種々の特性量のうち、自己相關係数の減衰特性を示す減衰時間 T_a 、流れ方向および水深方向の最適相關係数に関する積分スケール λ_s および L_s 、ならびに水深方向における最適遅れ時間 τ_s を取り上げ、2次元開木路流れにおける流れ方向の乱れ速度を対象とした場合のこれらの特性量について実験的検討を行なう。なお、それ計算にはホットフィルム流速計が用いられ、実験木路は長さ13m、幅40cm、路床勾配1/500の滑面直線木路である。また、実験時の水理条件は表-1に示される通りである。

減衰時間 T_a の計測結果は図-2に示されるようであって、 T_a/T は $U_c T/H$ に関係なくほぼ 1 という一定値を示し、 $T_a \approx T$ という関係は計測点の路床面からの距離あるいは実験条件に関係なく成立するようである。ここに、 H は水深、 U_c はそれの移流速度であって、 U_c は局所的平均速度 U に等しいとして差し支えない。

最適相關係数に関する積分スケールについて日野³⁾は、
 $L/U_{CT} \approx \text{const.}$ という関係式を提案し、Corcos による

表-1 水理条件

実験 ケース	水深 H (cm)	平均速度 \bar{U}_m (cm/sec)	摩擦速度 U_f (cm/sec)	$K_c = \frac{\bar{U}_m H}{D}$	$F_r = \frac{\bar{U}_m}{\sqrt{gH}}$
1	2.02	26.1	1.37	4.43×10^3	0.586
2	4.04	40.1	1.79	1.41×10^4	0.633



四-1 當空間相關係數

境界面における圧力変動に関する計測結果より流れ方向についての const. は 1.4 程度となることを示している。しかしながら、図-3 に示された本実験結果によると、 L_x/U_{cT} は U_{cT}/H の小さい領域では一定となり、 U_{cT}/H が大きな領域では $(U_{cT}/H)^{-1/2}$ に比例する様相を示し、 $L_x/U_{cT} \approx \text{const.}$ と見なせる領域においても、 const. の値は路面からの距離および水理条件によってかなり変化している。ただし、実験ケース 1 の $z/H = 0.1$ の場合の const. はほぼ 1.5 程度と見なされ、先の結果とみなりより一致を示していることは興味深い。一方、木深方向を対象とした L_z/U_{cT} については対象とした周期領域全体にわたり、 $(U_{cT}/H)^{-1/2}$ に比例しており、 L_z の値も L_x よりかなり小さいことが知られる。

また、木深方向における最適遅れ時間 T_2 については、 $z > 0$ に応じて $z < 0$ (ここに $z > 0$ は位相の遅れを示し、自由表面側における乱れの位相が進んでいることになる)となることが知られているが、その特性については不明の点が多い。本研究においては次元解析的考察よりも大きく関係する量として T および z を選び、これらの量を 2 次元開水路流れに関する代表的水理量と見なされる H および U (摩擦速度) によって無次元化し、これらの無次元量と T_2 との関係を示すと図-4 のようであり、両者を総合すると、

$$\frac{T_2}{T} \approx -\frac{1}{4} \left(\frac{U_{cT}}{H} \right)^{\frac{3}{2}} \left(\frac{z}{H} \right)^{\frac{3}{2}} \quad (4)$$

という実験式が得られる。(4)は実験ケース 2 のみより得られた関係式であってその普遍性については今後さらに詳細な検討が必要である。

参考文献:

- 1) 今本・上野・浅野(1973):昭和48年度土木学会関西支部年譲, II-16.
- 2) 今本・上野・浅野(1973):京都大学防災研究所報, (印刷中).
- 3) 日野(1972):土木学会論文報告集, 202号.

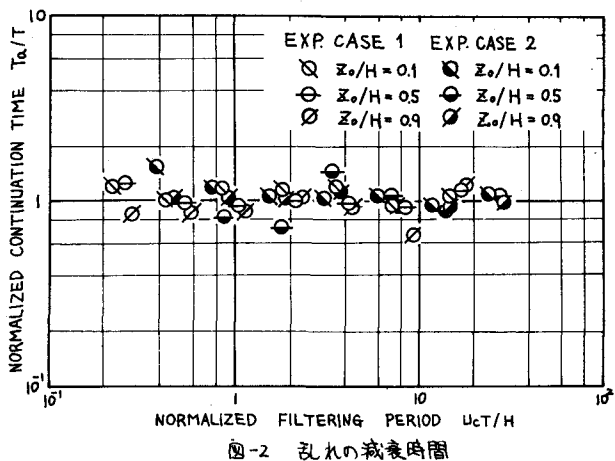


図-2 亂れの減衰時間

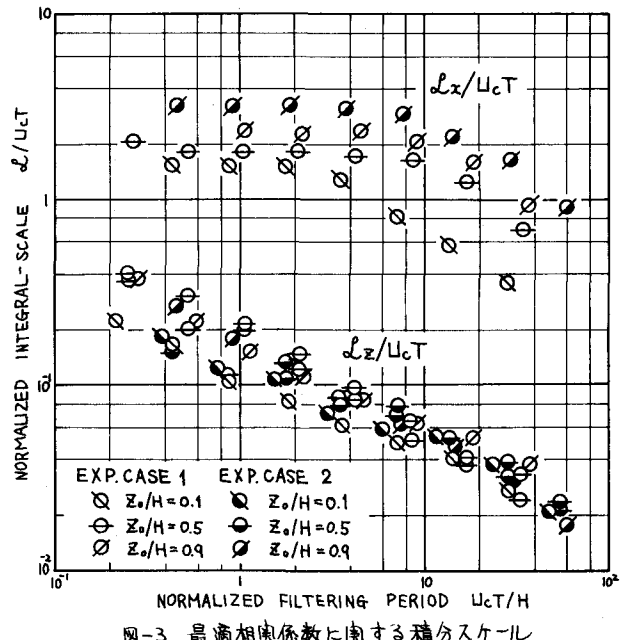


図-3 最適相関係数に関する積分スケール

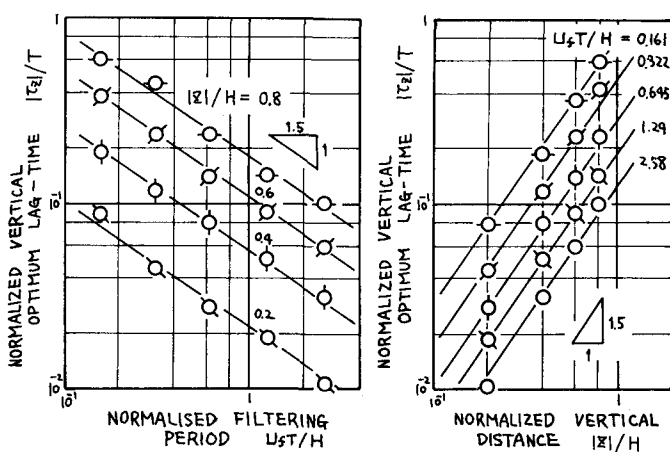


図-4 水深方向における最適遅れ時間